

## 三维羧基氧桥联双核铜配合物 $[\text{Cu}_2(\text{nta})(\text{Phen})_3]\text{NO}_3 \cdot 6\text{H}_2\text{O}$ 的合成、表征与晶体结构

陈志敏 王剑秋 曾荣英 邝代治\* 张复兴 冯泳兰 彭运林  
(衡阳师范学院化学与材料科学系, 衡阳 421008)

**摘要:** 由  $\text{H}_3\text{nta}$  ( $\text{H}_3\text{nta}$ =nitriloriacetic acid)、Phen (Phen=1, 10-phenanthroline) 与  $\text{Cu}^{2+}$  离子反应, 合成标题配合物  $[\text{Cu}_2(\text{nta})(\text{Phen})_3]\text{NO}_3 \cdot 6\text{H}_2\text{O}$ 。该配合物的晶体属单斜晶系, 空间群为  $P2_1/c$ 。在配合物中, 2 个中心铜原子分别与配位原子构成变形八面体和变形三角双锥结构。晶体中结构单元通过分子间氢键和  $\pi$ - $\pi$  堆积, 形成了三维网络结构。TG 分析结果表明标题配合物在 194 °C 以下是稳定的。

**关键词:** 氨基三乙酸; 邻菲咯啉; 镍(II); 桥联双核配合物; 晶体结构

中图分类号: O614.121 文献标识码: A 文章编号: 1001-4861(2008)05-0743-05

## Synthesis, Characterization and Crystal Structure of Three-dimensional Dinuclear Complex $[\text{Cu}_2(\text{nta})(\text{Phen})_3]\text{NO}_3 \cdot 6\text{H}_2\text{O}$ Bridged by Carboxyl Oxygen

CHEN Zhi-Min WANG Jian-Qiu ZENG Rong-Ying KUANG Dai-Zhi\*  
ZHANG Fu-Xing FENG Yong-Lan PENG Yun-Lin

(Department of Chemistry and Materials Science, Hengyang Normal University, Hengyang, Hunan 421008)

**Abstract:** The complex  $[\text{Cu}_2(\text{nta})(\text{Phen})_3]\text{NO}_3 \cdot 6\text{H}_2\text{O}$  has been synthesized in  $\text{CH}_3\text{OH}/\text{H}_2\text{O}$  solution with  $\text{H}_3\text{nta}$ , Phen and copper(II), where  $\text{H}_3\text{nta}$ =nitriloriacetic acid and Phen=1,10-phenanthroline. The crystal structure of the complex has been determined by X-ray diffraction single crystal structure analysis. The crystal belong to monoclinic system, space group  $P2_1/c$ . The cell parameters are:  $a=1.251\ 05(9)$  nm,  $b=1.559\ 62(1)$  nm,  $c=2.249\ 70(2)$  nm,  $\beta=97.719\ 0(1)^\circ$ , and  $V=4.349\ 8(5)$  nm<sup>3</sup>,  $Z=4$ ,  $\mu(\text{Mo } K\alpha)=10.59$  cm<sup>-1</sup>,  $F(000)=2\ 112$ ,  $R_1=0.040\ 0$ ,  $wR_2=0.108\ 3$  [ $I>2\sigma(I)$ ]. The two copper atoms locate in a distorted coordination octahedron and a distorted coordination trigonal bipyramid, respectively. Three-dimensional coordination network is formed through intermolecular hydrogen bonds of  $\text{O}-\text{H}\cdots\text{O}$  and the  $\pi$ - $\pi$  packing action between phenanthrolines. The results of TG analysis show the title complex was stable under 194 °C. CCDC: 654192.

**Key words:** nitriloriacetic acid; 1,10-phenanthroline; copper(II); bridged dinuclear complex; crystal structure

桥联多核配合物广泛存在于生物体内的金属酶中。研究该类物质, 有助于探索酶的结构及其活性中心的本质、获取生物体系中电子转移机理等信息, 因此合成、研究新型的桥联多核配合物的工作, 已日益受到研究者的关注<sup>[1-9]</sup>。我们曾合成了羧基

氧桥联铜钠双核配合物 $[\text{CuNa}(\text{nta})\text{H}_2\text{O}]$ , 并对该物质进行了结构分析<sup>[9]</sup>。近期, 又通过铜离子与氨三乙酸等配体反应合成了标题配合物, 研究表明, 通过氨三乙酸的羧基氧桥连铜原子构成双核配合物, 分子中 2 个铜原子分别具有六配位变形八面体和五配

收稿日期: 2007-10-10。收修改稿日期: 2008-03-20。

湖南省教育厅资助项目(No.06A009); 湖南省重点学科建设资助项目。

\*通讯联系人。E-mail: hnkdz@yahoo.com.cn

第一作者: 陈志敏, 女, 51 岁, 教授; 研究方向: 配位化学。

位变形三角双锥构型的结构特征。

## 1 实验部分

### 1.1 试剂与仪器

氨三乙酸,分析纯,中国医药集团化学试剂公司;邻菲咯啉,分析纯,天津市大茂化学试剂厂,其它试剂均是分析纯。日本岛津 FTIR-8700 红外光谱仪 (4000~400  $\text{cm}^{-1}$ ),PE-2400(II)元素分析仪,Bruker Smart CCD 型 X 射线单晶衍射仪,WCT-10 热分析仪。

### 1.2 配合物的合成

称取 1 mmol  $\text{H}_2\text{nta}$  和 2mmol Phen 分别溶于蒸馏水和甲醇中。将 1 mmol  $\text{Cu}(\text{OH})_2$  分数次加入  $\text{H}_2\text{nta}$  的水溶液,搅拌加热,然后滴入 Phen 的甲醇溶液,调节 pH 值约为 6。加热搅拌数小时后,浓缩溶液至适当体积。室温放置数周后析出标题配合物绿蓝色晶体。元素分析  $\text{C}_{42}\text{H}_{42}\text{Cu}_2\text{N}_8\text{O}_{15}$  结果为(括号

内为测定值%):C 49.26(49.22),H 4.08(4.13),N 10.88 (10.92)。IR 主要吸收峰 (KBr 压片,  $\nu/\text{cm}^{-1}$ ):3 415.7 (vs),1 616.2(vs),1 596.0(vs),1 519.8(s),1 431.1(s),1 384.8 (vs),1 222.8 (m),1 145.6 (m),1 107.1 (m),983.6(w), 912.3(m),871.8(m),852.5(s),781.1(w),723.3(s),507.2 (w),486.0(w),430.1(w)。

### 1.3 配合物的晶体结构分析

取尺寸为 0.49 mm  $\times$  0.39 mm  $\times$  0.39 mm 的单晶,在 Bruker Smart Apex CCD 单晶衍射仪上,用石墨单色化的 Mo  $K\alpha$  射线( $\lambda=0.071\ 03\ \text{nm}$ ),于 293(2) K 以  $\omega\sim 2\theta$  扫描方式,在  $2.61\leq\theta\leq 26.68$  范围内共收集 27 467 个衍射强度数据,其中 8 072 个独立衍射点( $R_{\text{int}}=0.025\ 9$ ), $I>2\sigma(I)$  的可观察衍射点 6 579 个。采用 SHELX-97 程序,由直接法解出结构,用全矩阵最小二乘法对结构加以精修。以理论加氢法确定氢原子在晶胞中的位置。晶体学数据详见表 1。

CCDC:654192。

表 1 配合物的晶体学数据

Table 1 Crystallographic data of the title complexes

Empiric formula	$\text{C}_{42}\text{H}_{42}\text{Cu}_2\text{N}_8\text{O}_{15}$	$F(000)$	2 112
Formula weight	1 025.92	Crystal size / mm	0.49 $\times$ 0.39 $\times$ 0.39
Crystal system	Monoclinic	Temperature / K	293(2)
Space group	$P2_1/c$	$\theta$ range for data collection / ( $^\circ$ )	2.61~26.68
$a$ / nm	1.251 05(9)	Limiting indices	$-15\leq h\leq 15, -18\leq k\leq 17, -27\leq l\leq 27$
$b$ / nm	1.559 62(1)	Reflections collected	27 467
$c$ / nm	2.249 70(2)	Reflections / unique ( $R_{\text{int}}$ )	8 072 (0.025 9)
$\beta$ / ( $^\circ$ )	97.719 0(1)	Goodness-of-fit on $F^2$	1.034
Volume / $\text{nm}^3$	4.349 8(5)	Final $R$ indices [ $I>2\sigma(I)$ ]	$R_1=0.040\ 0, wR_2=0.108\ 3$
$Z$	4	$R$ indices (all dates)	$R_1=0.051\ 5, wR_2=0.115\ 5$
$\mu(\text{Mo } K\alpha) / \text{cm}^{-1}$	10.59	Largest diff. peak and hole / ( $\text{e}\cdot\text{nm}^{-3}$ )	529 and -653

## 2 结果与讨论

### 2.1 晶体结构描述

配合物的结构见图 1, 主要键长和键角列于表 2。由图 1 和晶体结构数据知标题配合物为双核,中心铜原子与配体之间构成 7 个五元环。2 个中心铜原子的配位数分别为 6 和 5, 二者的配位环境差异较大。 $\text{Cu}(1)$  原子与 1 个 nta 的 3 个羧基氧原子、1 个氮原子以及 1 个 Phen 的 2 个氮原子,形成六配位的变形八面体构型。处于轴向位置的  $\text{Cu}(1)\text{-O}(1)$ 、 $\text{Cu}(1)\text{-O}(3)$  键长分别为:0.236 2(2)、0.229 4(2) nm; 处于赤道位置的  $\text{Cu}(1)\text{-N}(1)$ 、 $\text{Cu}(1)\text{-N}(2)$ 、 $\text{Cu}(1)\text{-N}(3)$ 、 $\text{Cu}(1)\text{-O}(5)$  键长分别为:0.209 9(2)、0.204 9(2)、0.201 0(2)、

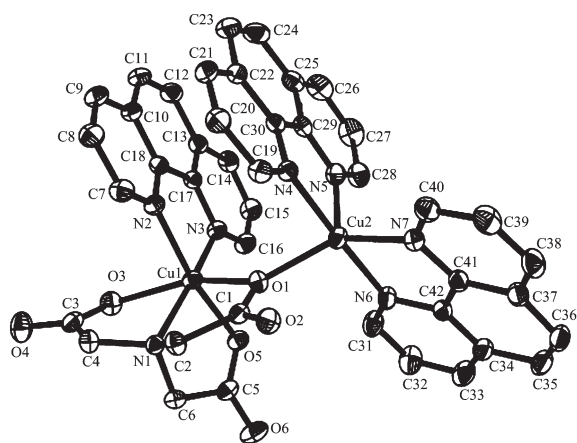


图 1  $[\text{Cu}_2(\text{nta})(\text{Phen})_3]$  的结构图

Fig.1 Structure of complex  $[\text{Cu}_2(\text{nta})(\text{Phen})_3]$

表 2 配合物的部分键长和键角

Table 2 Selected of bond lengths (nm) and angles ( $^\circ$ )

Cu(1)-O(5)	0.194 9(2)	Cu(1)-N(1)	0.209 9(2)	Cu(1)-N(3)	0.201 0(2)
Cu(1)-N(2)	0.204 9(2)	Cu(1)-O(3)	0.229 4(2)	Cu(1)-O(1)	0.236 2(2)
Cu(2)-N(6)	0.199 5(2)	Cu(2)-N(4)	0.200 5(2)	Cu(2)-N(7)	0.205 6(2)
Cu(2)-O(1)	0.207 7(2)	Cu(2)-N(5)	0.214 4(2)	N(7)-C(41)	0.136 6(4)
O(1)-C(1)	0.127 0(4)	O(2)-C(1)	0.123 9(3)	O(3)-C(3)	0.124 4(4)
O(4)-C(3)	0.123 4(4)	O(5)-C(5)	0.126 5(4)	O(6)-C(5)	0.124 0(3)
N(1)-C(2)	0.148 5(4)	N(1)-C(6)	0.149 1(4)	N(1)-C(4)	0.149 3(4)
N(2)-C(7)	0.133 1(4)	N(2)-C(18)	0.136 1(4)	N(3)-C(16)	0.132 6(4)
N(3)-C(17)	0.136 4(4)	N(4)-C(19)	0.133 3(4)	N(4)-C(30)	0.135 9(4)
N(5)-C(28)	0.132 5(4)	N(5)-C(29)	0.135 9(4)	N(6)-C(31)	0.132 9(4)
N(6)-C(42)	0.136 3(4)	N(7)-C(40)	0.132 9(4)		
O(5)-Cu(1)-N(3)	90.51(9)	O(5)-Cu(1)-N(2)	170.18(1)	O(1)-Cu(2)-N(5)	97.31(9)
N(3)-Cu(1)-N(2)	82.12(1)	O(5)-Cu(1)-N(1)	85.65(9)	N(3)-Cu(1)-N(1)	168.60(1)
N(2)-Cu(1)-N(1)	102.79(1)	O(5)-Cu(1)-O(3)	96.95(9)	N(3)-Cu(1)-O(3)	93.34(9)
N(2)-Cu(1)-O(3)	89.98(9)	N(1)-Cu(1)-O(3)	76.52(8)	O(5)-Cu(1)-O(1)	85.85(8)
N(3)-Cu(1)-O(1)	113.82(9)	N(2)-Cu(1)-O(1)	91.18(9)	N(1)-Cu(1)-O(1)	76.64(8)
O(3)-Cu(1)-O(1)	152.71(8)	N(6)-Cu(2)-N(4)	177.31(1)	N(6)-Cu(2)-N(7)	81.59(1)
N(4)-Cu(2)-N(7)	98.30(1)	N(6)-Cu(2)-O(1)	92.24(9)	N(4)-Cu(2)-O(1)	89.44(9)
N(7)-Cu(2)-O(1)	143.14(9)	N(6)-Cu(2)-N(5)	97.09(1)	N(4)-Cu(2)-N(5)	80.61(1)
N(7)-Cu(2)-N(5)	119.47(1)				

0.194 9(2) nm, Cu-N 键平均距离(0.205 3 nm)大于 Cu-O 键长(0.194 9 nm), 表明配体 nta 中羧基氧的配位能力强于 N 原子。轴向位置、赤道位置的 Cu-O 键长分别为 0.232 8 nm(平均值)、0.194 9 nm, 与文献<sup>[3]</sup>中相应 Cu-O 平均键长 0.232 2、0.195 8 nm 分别略有差异, 说明配体的改变对 Cu-O 键长有一定的影响。轴向 Cu-O 键明显长于赤道 Cu-O 键, 此因中心 Cu(II) 离子的 Jahn-Teller 效应所致。赤道位 4 个原子间的夹角分别为: O(5)-Cu(1)-N(1) 85.65(9) $^\circ$ 、O(5)-Cu(1)-N(3) 90.51(9) $^\circ$ 、N(3)-Cu(1)-N(2) 82.12(1) $^\circ$ 、N(2)-Cu(1)-N(1) 102.79(1) $^\circ$ , 夹角之和为 361.09 $^\circ$ , 与 360.0 $^\circ$  偏离 1.09 $^\circ$ 。且 Cu(1)、N(1)、N(2)、N(3)、O(5) 原子的平面方程为:  $1.678x+11.701y+14.028z=7.7506$ , 各原子偏离最小二乘平面值依次为: -0.003 53、0.014 03、-0.012 62、0.016 43、-0.014 31 nm, 平均偏差为 0.012 18 nm, 此均说明 Cu(1) 与 N(1)、N(2)、N(3)、O(5) 原子基本处于同一平面; 处于轴向位置的 O(1)、O(3) 两原子与赤道位原子的夹角分别为: O(5)-Cu(1)-O(1) 85.85(8) $^\circ$ 、N(3)-Cu(1)-O(1) 113.82(9) $^\circ$ 、N(2)-Cu(1)-O(1) 91.18(9) $^\circ$ 、N(1)-Cu(1)-O(1) 76.64(8) $^\circ$ 、O(5)-Cu(1)-O(3) 96.95(9) $^\circ$ 、N(3)-Cu(1)-O(3) 93.34(9) $^\circ$ 、N(2)-Cu(1)-O(3)

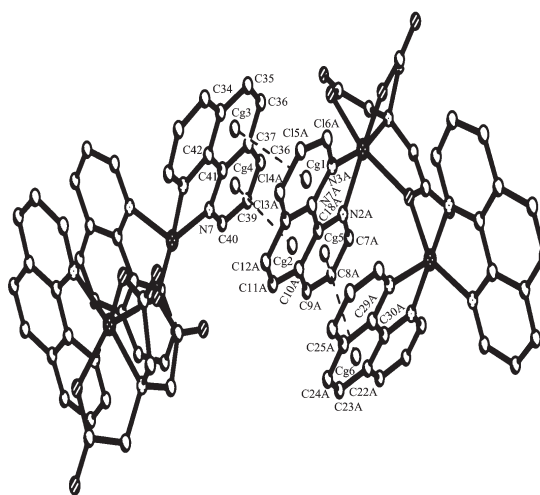
89.98(9) $^\circ$ 、N(1)-Cu(1)-O(3) 76.52(8) $^\circ$ , 仅有 2 个角与 90 $^\circ$  角接近, 余者则存在较大偏差。轴向位置原子的键角 O(3)-Cu(1)-O(1) 为 152.71(8) $^\circ$ , 与 180 $^\circ$  偏差较大。因此上述八面体变形程度较大。Cu(2) 原子与 2 个 Phen 的 4 个 N 原子, 以及 1 个 nta 的 1 个羧基氧原子配位, 构成五配位的变形三角双锥构型。处于赤道位置的 O(1)、N(5)、N(7) 原子间夹角分别为: N(7)-Cu(2)-O(1) 143.14(9) $^\circ$ 、N(7)-Cu(2)-N(5) 119.47(1) $^\circ$ 、O(1)-Cu(2)-N(5) 97.31(9) $^\circ$ , 359.94 $^\circ$  的总夹角值接近 360 $^\circ$ 。同时 Cu(2)、O(1)、N(5)、N(7) 原子的平面方程为:  $12.432x-0.168y-5.485z=2.7441$ , 各原子偏离最小二乘平面值依次为: -0.002 36、0.000 84、0.000 56、0.000 96 nm, 平均偏差为 0.001 18 nm, 都可认为 Cu(2) 与 O(1)、N(5)、N(7) 原子处于同一平面。轴向位置的 N(6)、N(4) 原子与赤道位原子的夹角分别为: N(6)-Cu(2)-N(7) 81.59(1) $^\circ$ 、N(6)-Cu(2)-O(1) 92.24(9) $^\circ$ 、N(6)-Cu(2)-N(5) 97.09(1) $^\circ$ 、N(4)-Cu(2)-O(1) 89.44(9) $^\circ$ 、N(4)-Cu(2)-N(7) 98.30(1) $^\circ$ 、N(4)-Cu(2)-N(5) 80.61(1) $^\circ$ , 仅 2 个角与 90 $^\circ$  角接近, 余者则偏差较大。轴向位原子间的夹角 N(6)-Cu(2)-N(4) 为 177.31(1) $^\circ$ , 与 180 $^\circ$  线性角偏离不大。由此说明上述三角双锥体

发生了畸变。此外, Cu-N 平均距离 0.205 0 nm(Cu(2)-N(6) 0.199 5(2) nm, Cu(2)-N(7) 0.205 6(2) nm, Cu(2)-N(5) 0.214 4(2) nm, Cu(2)-N(4) 0.200 5(2) nm) 小于 Cu-O 键长(O(1)-Cu(2) 0.207 7(2) nm), 说明在此 N 原子的配位能力强于 O 原子。

配体 nta 中羧基氧有多种配位模式。其中 2 个羧基以单齿形式配位, Cu(1)-O(5)、Cu(1)-O(3) 键长值分别为 0.194 9(2) nm 和 0.229 4(2) nm; 另 1 个羧基则采用单氧桥式配位, 2 个桥键键长差异较大(O(1)-Cu(2) 0.207 7(2) nm, O(1)-Cu(1) 0.236 2(2) nm, 相差 0.028 5 nm), 可能因该羧基与 Cu(2) 原子之间存在弱键之故(O(2)⋯Cu(2) 0.275 5 nm)。两桥键键长与配合物 [CuNa(nta)H<sub>2</sub>O] 的桥键键长(O(5)-Cu(1) 0.234 4(3) nm) 均有差异, 而配位模式则相同<sup>[3]</sup>。桥式羧基分隔的 Cu⋯Cu 间距为 0.416 5 nm, 而 Na<sub>2</sub>[Cu<sub>2</sub>(NTA)<sub>2</sub>Bzim]·10H<sub>2</sub>O 中被桥式苯并咪唑分隔的 Cu⋯Cu 距离则为 0.571 6 nm<sup>[7]</sup>。

晶胞中配合单元相互交错重叠堆砌, 且富含氢键(见表 3)。配体 nta 中未配位羧基氧与结晶水之间存在氢键: O(4)⋯O(11) 0.276 0 nm、O(2)⋯O(15) 0.282 4 nm、O(6)⋯O(14) 0.284 9 nm、O(6)⋯O(12) 0.281 5 nm; NO<sub>3</sub><sup>-</sup> 与结晶水之间存在着氢键: O(11)⋯O(8) 0.300 8 nm、O(11)⋯O(9) 0.319 8 nm、O(10)⋯O(7') 0.284 9 nm、O(10)⋯O(8) 0.287 8 nm 等; 结晶水分子间存在氢键, 如 O(15)⋯O(10) 0.274 5 nm、O(13)⋯O(10) 0.288 6 nm、O(13)⋯O(12) 0.276 8 nm、O(12)

⋯O(11) 0.276 2 nm、O(10)⋯O(13) 0.288 6 nm 等。晶体中还存在着较多的多重氢键, 如 O(10)⋯O(7') 0.284 9 nm、O(10)⋯O(8) 0.287 8 nm、O(10)⋯O(13) 0.288 6 nm、O(15)⋯O(10) 0.274 5 nm 和 O(11)⋯O(4) 0.276 0 nm、O(11)⋯O(8) 0.300 8 nm、O(11)⋯O(8') 0.286 5 nm、O(11)⋯O(12) 0.276 2 nm 等。此外, 从图 2 可看出, 相邻单元中 Phen 环之间反位重叠, 两环之间的心心距离分别为 0.385 6 nm (Cg1-Cg3) 和 0.369 3 nm (Cg2-Cg4), 环面之间的夹角为 5.971(3)°; 同一配合单元中的 Phen 环之间错位面对面重叠, 两环之间的心心距离为 0.363 9 nm (Cg5-Cg6), 夹角



A:  $x, 0.5-y, 0.5+z$

图 2 配合物分子间的  $\pi$ - $\pi$  堆积

Fig.2  $\pi$ - $\pi$  stacking of neighboring complexes

表 3 配合物的氢键和键角

Table 3 Hydrogen-bonds and angles for complex

D-H⋯A	$d(\text{D-H}) / \text{nm}$	$d(\text{H}\cdots\text{A}) / \text{nm}$	$d(\text{D}\cdots\text{A}) / \text{nm}$	$\angle \text{DHA} / (^\circ)$
O(15)-H(12W)⋯O(2)#1	0.84	2.09	2.824(4)	146.9
O(15)-H(11W)⋯O(10)#2	0.84	2.11	2.745(6)	131.6
O(14)-H(9W)⋯O(6)	0.83	2.15	2.849(5)	141.6
O(13)-H(8W)⋯O(10)#3	0.83	2.08	2.886(5)	164.3
O(13)-H(7W)⋯O(12)	0.83	1.95	2.768(4)	166.1
O(12)-H(6W)⋯O(11)#4	0.83	1.95	2.762(4)	168.3
O(12)-H(5W)⋯O(6)	0.83	1.99	2.815(4)	174.1
O(11)-H(4W)⋯O(9)	0.83	2.41	3.198(9)	159.0
O(11)-H(4W)⋯O(8)	0.83	2.26	3.008(6)	149.8
O(11)-H(4W)⋯O(8')	0.83	2.09	2.86(2)	155.3
O(11)-H(3W)⋯O(4)	0.84	1.93	2.760(4)	168.8
O(10)-H(2W)⋯O(7')#5	0.83	2.45	2.849(18)	110.7
O(10)-H(2W)⋯O(8)#5	0.83	2.24	2.878(8)	133.7
O(10)-H(1W)⋯O(13)#1	0.83	2.37	2.886(5)	120.5

Symmetry code: #1:  $x, y, z+1$ ; #2:  $x-1, y, z$ ; #3:  $x, y, z-1$ ; #4:  $-x+1, y-1/2, -z+1/2$ ; #5:  $-x+1, -y+1, -z+1$ .

为 5.101(3)°。由此说明 Phen 环之间存在着  $\pi$ - $\pi$  堆积<sup>[10]</sup>。各配合单元通过氢键和芳环的  $\pi$ - $\pi$  堆积作用连接为三维网络结构,同时二者的存在增加了晶体的稳定性。此外,配合物中硝酸根处于无序状态,其中 N(8)、O(7)、O(8)、O(9)和 N(8')、O(7')、O(8')O(9')两组原子之间占有率分别为 0.777 和 0.233。

## 2.2 配合物的红外光谱研究

配体 nta 的  $\nu_{\text{as}}(\text{COOH})(1\ 725.0\ \text{cm}^{-1})$ 峰在标题配合物中消失, $\nu_{\text{as}}(\text{COO})(1\ 620.0\ \text{cm}^{-1})$ 峰红移至  $1\ 596.0\ \text{cm}^{-1}$ , $\nu_{\text{s}}(\text{COO})(1\ 330.0\ \text{cm}^{-1})$ 峰紫移至  $1\ 431.1\ \text{cm}^{-1}$ ,表明羧基氧原子与中心离子配位,且  $\Delta\nu=\nu_{\text{as}}-\nu_{\text{s}}=164.9\ \text{cm}^{-1}$ ,进一步说明羧基氧以双齿形式与中心离子配位<sup>[3,11]</sup>,此与晶体结构分析结果相吻合。配体 nta 的  $\nu(\text{C-N})$ 吸收峰( $1\ 205.4\ \text{cm}^{-1}$ )在配合物中红移至  $1\ 145.6\ \text{cm}^{-1}$ 处,表明该配体中氮原子参与了配位。配体 Phen 的特征吸收峰  $\nu(\text{C=N})\ 1\ 587.3\ \text{cm}^{-1}$ 、 $\nu(\text{C=C})\ 1\ 618.2\ \text{cm}^{-1}$ 、 $\delta(\text{C-C})\ 852.5\ \text{cm}^{-1}$ 、 $\delta(\text{C-H})\ 740\ \text{cm}^{-1}$ ,在配合物中分别红移至  $1\ 519.8$ 、 $1\ 600.0$ 、 $871.8$ 、 $723.3\ \text{cm}^{-1}$ ,说明 Phen 中的 2 个 N 原子与 Cu<sup>2+</sup>配位<sup>[10]</sup>。 $3\ 415.7\ \text{cm}^{-1}$ 附近出现宽峰,为水分子的羟基伸缩振动吸收峰,是配合物含结晶水的依据。配合物在  $486.0$ 、 $430.1\ \text{cm}^{-1}$ 处的吸收峰可分别指认给  $\nu(\text{Cu-O})$ 和  $\nu(\text{Cu-N})$ ,表明配体中氮、氧原子分别与中心铜离子配位成键<sup>[12]</sup>。显然,红外分析与晶体结构分析所得结论一致。

## 2.3 配合物的热稳定性分析

配合物的 TG-DTG 分析在空气气氛中进行,升温速率为  $10\ \text{℃}\cdot\text{min}^{-1}$ ,标题配合物样品的 TG 曲线显示,在  $103\sim 194\ \text{℃}$ 之间配合物失重 10.89%,对应于失去 6 个结晶水分子(理论值为 10.54%)。显然,结晶水的失水温度较高,此因结晶水形成分子间氢键,特别是多重氢键之故。由此可说明失水温度的高低与其配位、氢键的形成等因素有关<sup>[13]</sup>。在  $194\sim 514\ \text{℃}$ 之间累计质量损失为 62.10%,相当于失去 1 个氨三乙酸配体中的 2 个 CO<sub>2</sub> 碎片、3 个邻菲咯啉配体以及 1 个 NO(理论值为 60.69%)。然后经慢失重至最终残余物,残重值为 21.67%,相当于 2 个 CuO 和 5 个 C(理论值 21.36%)。由样品的 DTA 曲线知  $342\sim 500\ \text{℃}$ 区间有 1 个大的放热峰,且失重明

显,为有机配体剧烈热分解所致。上述热分析结果表明标题配合物在  $194\ \text{℃}$ 以下可稳定存在。

## 参考文献:

- [1] MA Chang-Qin(马长勤), ZHANG Wen-Xing(张文兴), WANG Xu-Ning(王绪宁), et al. *Acta Chimica Sinica (Huaxue Xuebao)*, **1997**,(55):539~544
- [2] YOU Xiao-Zeng(游效曾). *The Structure and Properties of Complexes* (配位化合物的结构和性质). Beijing: Science Press, **1992**.
- [3] CHEN Zhi-Min(陈志敏), KUANG Dai-Zhi(邝代治), FENG Yong-Lan(冯泳兰), et al. *Chemistry Bulletin (Huaxue Tongbao)*, **2005**,68:<http://www.lxthb.org.col/2005/c05081.htm>
- [4] Humberto O S, Yu P, Olivier K, et al. *J. Am. Soc.*, **1993**,**115**: 6738~6745
- [5] Lee S C, Holm R H. *J. Am. Chem. Soc.*, **1993**,**115**:11789~11798
- [6] Joulia L, Suvarna A, Chavan J V, et al. *Inorg. Chem.*, **1997**, (36):6374~6381
- [7] SHI Ju-En(石巨恩), YANG Hua-Wu(杨华武), LUO Bao-Sheng(罗保生), et al. *Journal of Huazhong Normal University(Nat. Sci.)(Huazhong Shifan Daxue Xuebao(Ziran Kexue))*, **1995**,**29**(3):331~335
- [8] LIU Qin-De(刘沁德), LI Jun-Ran(李俊然), MA Bao-Qing(马宝清), et al. *Journal of Rare Earths(Zhongguo Xitu Xuebao)*, **2000**,**18**(3):161~164
- [9] MA Lu-Fang(马录芳), LIANG Fu-Pei(梁福沛), QIN Hai-Cuo(覃海错), et al. *Chinese J. Inorg. Chem. (Wuji Huaxue Xuebao)*, **2004**,**20**(12):1429~1432
- [10] CHEN Zhi-Min(陈志敏), LI Wei(李薇), YANG Ying-Qun(杨颖群), et al. *Journal of Natural Science of Hunan Normal University (Hunan Shifan Daxue Ziran Kexue Xuebao)*, **2005**,**28**(4):54~58
- [11] WANG Jun(王君), ZHANG Xiang-Dong(张向东), MA Rui(马睿), et al. *Chinese J. Inorg. Chem. (Wuji Huaxue Xuebao)*, **2001**,**17**(1):119~123
- [12] CHEN Zhi-Min(陈志敏), KUANG Dai-Zhi(邝代治), FENG Yong-Lan(冯泳兰). *Chinese J. Chemical Physics (Huaxue Wuli Xuebao)*, **2004**,**17**(5):582~586
- [13] TAO Ruo-Jie(陶若偈), ZANG Shuang-Quan(臧双全), NIU Jing-Yang(牛景扬), et al. *Chinese J. Inorg. Chem. (Wuji Huaxue Xuebao)*, **2002**,**18**(4):417~420